# Corso di laurea in Matematica - Anno Accademico 2006/2007

## FM1 - Equazioni differenziali e meccanica

Prova Scritta (16-07-2007)

#### **CORREZIONE**

ESERCIZIO 1. Nel sistema di riferimento mobile un osservatore che occupi la posizione  $\mathbf{Q}$  risente sia della forza esterna che agisce sul sistema sia delle forze apparenti. Si ha infatti

$$m\ddot{Q} = \mathbf{F} + \mathbf{F}_1 + \mathbf{F}_2 + \mathbf{F}_3,$$

dove  $\mathbf{F}_1 = -m[\dot{\boldsymbol{\Omega}}, \mathbf{Q}]$  è la forza d'inerziale di rotazione,  $\mathbf{F}_2 = -2m[\boldsymbol{\Omega}, \dot{\mathbf{Q}}]$  è la forza di Coriolis e  $\mathbf{F}_3 = -m[\boldsymbol{\Omega}, \dot{\mathbf{Q}}]$  la forza centrifuga. Cfr. Cap. 8, §34, teorema 34.6 e paragrafo 34.7 per la dimostrazione.

Se il sistema mobile ruota con velocità angolare costante (cioè la rotazione del sistema è la rotazione intorno a un asse fisso con velocità di rotazione costante) si ha  $\dot{\Omega} = \mathbf{0}$ , quindi  $\mathbf{F}_1 = \mathbf{0}$ , e se l'osservatore è fermo in tale sistema di riferimento si ha anche  $\dot{\mathbf{Q}} = 0$ , quindi  $\mathbf{F}_2 = \mathbf{0}$ . Sotto tali condizioni le forze apparenti si riducono alla sola forza centrifuga  $\mathbf{F}_3$ .

La forza centrifuga si annullerà anch'essa qualora risulti  $[\Omega, \mathbf{Q}] = \mathbf{0}$ , ovvero il vettore  $\mathbf{Q}$  sia parallelo al vettore  $\Omega$ . Fisicamente questo significa che l'osservatore si trova lungo l'asse fisso di rotazione.

ESERCIZIO 2. Cfr. Cap. 4, §18, paragrafi 18.20 e 18.21.

### Esercizio 3.

**3.1.** Per il sistema (A) si ha

$$\begin{cases} \dot{x} = 3y^3, \\ \dot{y} = -x, \end{cases}$$

così che (x,y)=(0,0) rappresenta un punto d'equilibrio. Consideriamo la funzione W(x,y)=H(x,y). Si ha W(0,0)=0 e W(x,y)>0 per ogni  $(x,y)\neq (0,0)$ , e inoltre

$$\dot{W} = \frac{\partial H}{\partial x}\dot{x} + \frac{\partial H}{\partial y}\dot{y} = 4xy^3 - 4y^3x = 0,$$

quindi possiamo applicare il teorema di Ljapunov prendendo W(x,y) come funzione di Ljapunov, e concludere che (0,0) è un punto d'equilibrio stabile.

**3.2.** Il sistema (A) ammette una costante del moto H(x, y) di classe  $C^1$  che ha punti stazionari isolati (ovvero che non è identicamente costante su alcun aperto di  $\mathbb{R}^2$ ).

Esiste un teorema che afferma che sotto tali condizioni il sistema non può avere né punti d'equilibrio asintoticamente stabile né cicli limiti. Nel caso dei punti d'equilibrio (che è il caso che a noi interressa) la dimostrazione è la seguente. Supponiamo per assurdo che esista un punto d'equilibrio asintoticamente stabile  $z_0 = (x_0, y_0)$ . Allora  $z_0$  è attrattivo e quindi esiste un intorno  $B(z_0)$  del punto tale che per ogni  $z \in B(z_0)$  la traiettoria  $\varphi(t, z)$ tende a  $z_0$  per  $t \to \infty$ . Poiché H è continua si ha  $\lim_{t\to\infty} H(\varphi(t,z)) = H(z_0)$ , e poiché H è una costante del moto si ha  $H(z) = H(\varphi(t,z))$ , e quindi si trova  $H(z) = H(z_0)$  per ogni  $z \in B(z_0)$ . Ma allora H sarebbe identicamente costante in  $B(z_0)$ , contro l'ipotesi.

Quindi l'origine non può essere un punto d'equilibrio asintoticamente stabile.

**3.3.** Per il sistema (B) si ha

$$\begin{cases} \dot{x} = -x, \\ \dot{y} = -4y^3, \end{cases}$$

così che (x,y) = (0,0) rappresenta nuovamente un punto d'equilibrio. Il sistema considerato è un sistema gradiente. Il punto (0,0) è un punto di minimo isolato per H(x,y), quindi è un punto d'equilibrio asintoticamente

stabile. Questo segue sempre dal teorema di Ljapunov, prendendo come fuznione di Ljapunov W(x,y) = H(x,y), e notando che W(0,0) = 0 e W(x,y) > 0 per ogni  $(x,y) \neq (0,0)$ , e

$$\dot{W} = \frac{\partial H}{\partial x}\dot{x} + \frac{\partial H}{\partial y}\dot{y} = -x^2 - 16y^4,$$

così che  $\dot{W} \leq 0$  e  $\dot{W} = 0$  se e solo se (x, y) = (0, 0).

**3.4.** Per ogni E > 0 consideriamo la curva di livello

$$\Gamma_E = \{(x, y) \in \mathbb{R}^2 : x^2 + y^4 = E\}.$$

Tale curva è una curva chiusa regolare che contiene l'origine al suo interno. Inoltre, se A denota la regione racchiusa da  $\Gamma_E$ , l'insieme  $\bar{A}$  è positivamente invariante. Infatti, in un sistema gradiente  $\dot{z}=g(z)=-\nabla H(z)$ , le traiettorie sono ortogonali alle curve di livello della funzione H, e attraversano la curva di livello  $\Gamma_E$  entrando nella regione A poiché  $\dot{H}=-|\nabla H|^2\leq 0$ , e H diminuisce avvicinandosi all'origine. Inoltre  $\dot{H}(z)=0$  se e solo se z=0, e  $\dot{H}(z)<0$  per ogni  $z\neq 0$  (cfr. il punto 3.3). Quindi l'insieme  $\bar{A}\setminus\{0\}$  non contiene traiettorie in cui  $\dot{H}=0$  identicamente. Sono quindi soddisfatte le ipotesi sotto le quali possiamo applicare il teorema di Barbašin-Krasovskij, il cui enunciato è il seguente.

Sia  $x_0$  un punto d'equilibrio per il sistema  $\dot{x} = f(x)$ . Supponiamo che esista una funzione  $W \colon \mathbb{R}^n \to \mathbb{R}$  definita in un intorno  $B(x_0)$  di  $x_0$  e di classe  $C^1$ , tale che

- (1)  $W(x_0) = 0$ ,  $e W(x) > 0 \ \forall x \in B(x_0) \setminus \{x_0\}$ ;
- (2)  $\dot{W}(x) \leq 0 \ \forall x \in B(x_0).$
- (3) Supponiamo anche che esista un insieme compatto P, chiusura di un aperto, tale che: (3.1)  $x_0 \in P$ , (3.2) P è positivamente invariante, e (3.3) non esistono in  $P \setminus \{x_0\}$  traiettorie costituite unicamente da punti z in cui  $\dot{W}(z) = 0$ .

Allora  $x_0$  è un punto d'equilibrio asintoticamente stabile e P è contenuto nel suo bacino d'attrazione.

Poiché  $E \ge 0$  può essere scelto arbitrariamente, possiamo concludere che tutto il piano costituisce il bacino d'attrazione dell'origine: quindi l'origine è un punto attrattivo globale.

## Esercizio 4.

### 4.1. Grafico dell'energia potenziale. Data l'energia potenziale

$$V(x) = \frac{\alpha}{2n} x^{2n}, \qquad n \in \mathbb{N},$$

si ha

$$V'(x) = \alpha x^{2n-1},$$
  

$$V''(x) = \alpha (2n-1)x^{2n-2},$$

così che per  $\alpha \neq 0$  si ha V'(x) = 0 se e solo se x = 0.

Inoltre, per  $\alpha \neq 0$ , la derivata seconda V''(x) si annulla solo per x = 0 se  $n \geq 2$  mentre non si annulla mai per n = 1. Quindi per n = 1 V''(x) > 0 per  $\alpha > 0$  e V''(x) < 0 per  $\alpha < 0$ , mentre per  $n \geq 2$  si ha V''(0) = 0 e, per  $\alpha \neq 0$ , si ha V''(x) > 0 per  $\alpha > 0$  e V''(x) < 0 per  $\alpha < 0$ .

Il caso  $\alpha = 0$  va discusso a parte perché in tal caso l'energia potenziale è identicamente nulla.

Quindi la funzione V(x) è convessa per  $\alpha > 0$  ed è concava per  $\alpha < 0$ . In particolare x = 0 è un punto di minimo (isolato) per  $\alpha > 0$  e un punto di massimo per  $\alpha < 0$ .

Inoltre V(x) è pari, e si ha  $\lim_{x\to\pm\infty}V(x)=\infty$  per  $\alpha>0$  e  $\lim_{x\to\pm\infty}V(x)=-\infty$  per  $\alpha<0$ .

Il grafico dell'energia potenziale è quindi come rappresentato in Figura 1 per  $\alpha > 0$  e come rappresentato in Figura 2 per  $\alpha < 0$ . Per  $\alpha = 0$  si ha banalemente V(x) = 0 per ogni  $x \in \mathbb{R}$ .

## 4.2. Punti d'equilibrio. Il sistema dinamico associato al sistema meccanico unidimensionale dato è

$$\begin{cases} \dot{x} = y, \\ \dot{y} = -V'(x) = -\alpha x^{2n-1}, \end{cases}$$

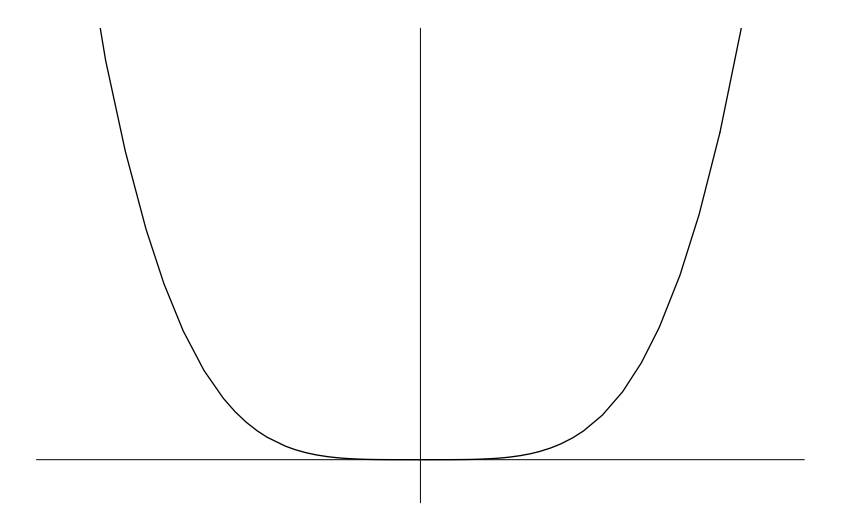


Figura 1. Grafico dell'energia potenziale V(x) per  $\alpha > 0$ .

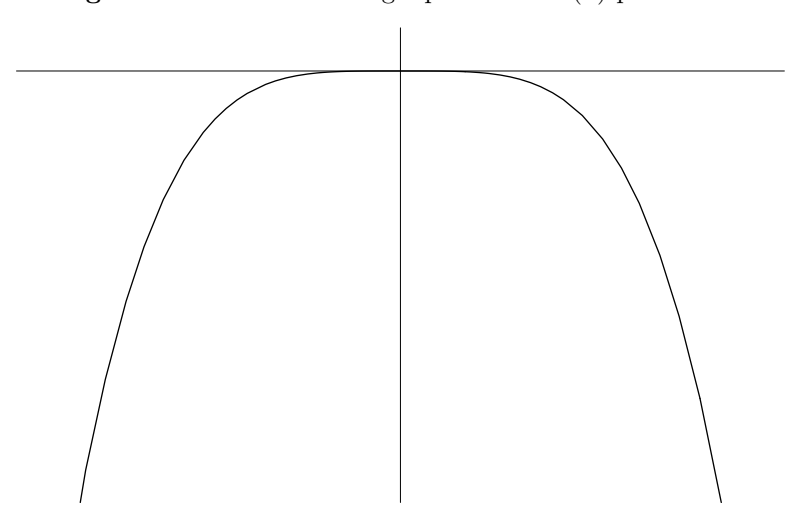


Figura 2. Grafico dell'energia potenziale V(x) per  $\alpha < 0$ .

quindi se  $\alpha \neq 0$  l'unico punto d'equilibrio è (0,0), mentre se  $\alpha = 0$  ogni punto (x,0), con  $x \in \mathbb{R}$ , è un punto d'equilibrio.

**4.3. Stabilità dei punti d'equilibrio.** Se  $\alpha > 0$  il punto x = 0 è un punto di minimo isolato per l'energia potenziale, quindi per il teorema di Dirichlet costituisce un punto d'equilibrio stabile.

Per  $\alpha < 0$  il punto x = 0 è un punto di massimo, quindi è un punto d'equilibrio instabile: questo sarà verificato a posteriori anche dalla forma delle curve di livello nello spazio delle fasi vicino al punto (x, y) = (0, 0).

Per  $\alpha = 0$  i punti (x, y) = (x, 0), con  $x \in \mathbb{R}$ , sono punti d'equilibrio instabile. Infatti per  $\alpha = 0$  l'equazione del moto diventa  $\ddot{x} = 0$ , che può essere integrata immediatamente e dà  $x(t) = x_0 + v_0 t$ , dove  $x_0 = x(0)$  e  $v_0 = \dot{x}(0)$ . Quindi, per ogni punto d'equilibrio  $(x_0, 0)$  lungo l'asse delle x, si può prendere un dato iniziale  $(x_0, v_0)$  arbitrariamente vicino (i.e. con  $v_0$  arbitrariamente piccolo) tale che la corrispondente traiettoria  $x(t) = x_0 + v_0 t$  si allontani indefinitivamente al crescere di t.

### 4.4. Analisi qualitativa. Studiamo le curve di livello

$$\Gamma_E = \left\{ (x, y) \in \mathbb{R}^2 : \frac{1}{2}y^2 + V(x) = E \right\}$$

dell'energia del sistema. Definiamo

$$F(x) = \sqrt{2\left(E - V(x)\right)} = \sqrt{2\left(E - \frac{\alpha}{2n}x^{2n}\right)},$$

in modo da poter riscrivere

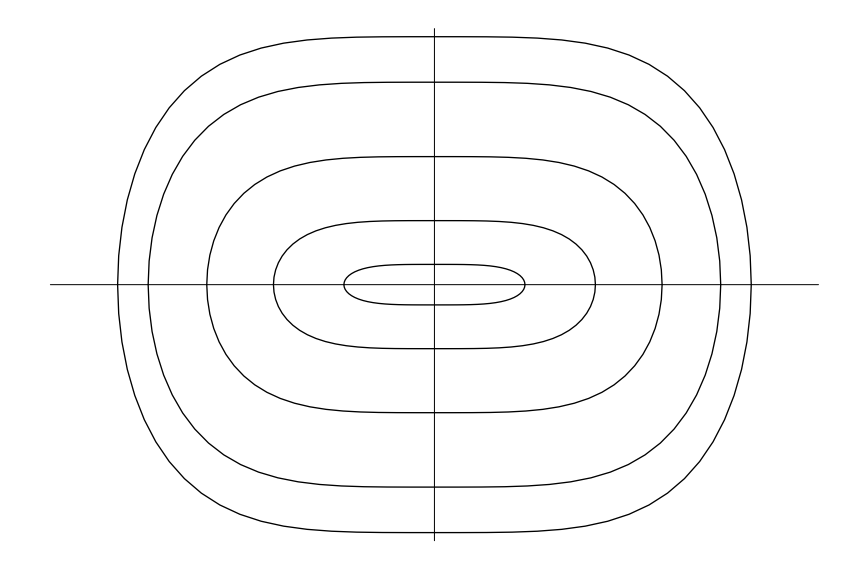
$$\Gamma_E = \left\{ (x, y) \in \mathbb{R}^2 : y = \pm F(x) \right\}.$$

Dal grafico della Figura 1 vediamo che, per ogni  $n \in \mathbb{N}$ , se  $\alpha > 0$  si ha  $\Gamma_E \neq \emptyset$  per ogni valore di  $E \geq 0$ . Inoltre per ogni valore di E la curva  $\Gamma_E$  è simmetrica sia rispetto all'asse x sia rispetto all'asse y. Poiché  $\dot{x} = y$ , i versi di percorrenza delle orbite saranno sempre da sinistra a destra nel semipiano superiore e da destra a sinistra nel semipiano inferiore.

Per E = 0 si ha  $\Gamma_0 = \{(0,0)\}$ , mentre per ogni E > 0, se indichiamo con  $x_{\pm}(E)$  le due radici dell'equazione  $x^{2n} - 2nE/\alpha$ , i.e.

$$x_{-}(E) = -\left(\frac{2nE}{\alpha}\right)^{1/2n}, \qquad x_{+}(E) = \left(\frac{2nE}{\alpha}\right)^{1/2n},$$

la curva di livello  $\Gamma_E$  risulta essere una curva chiusa regolare che interseca l'asse delle x nei punti  $x_{\pm}(E)$ . Le curve di livello sono quindi come rappresentate in Figura 3. Si noti in particolare che per n=1 le curve di livello diventano due ellissi di semiassi di lunghezza  $\sqrt{2E}$  e  $\sqrt{2E/\alpha}$ .



**Figura 3.** Piano delle fasi per  $\alpha > 0$ .

Per  $\alpha < 0$  si ha  $\Gamma_E \neq \emptyset$  per ogni  $E \in \mathbb{R}$ , poiché V(x) non è limitato inferiormente. Per E = 0 si ha

$$\Gamma_0 = \left\{ (x, y) \in \mathbb{R}^2 : y = \pm \sqrt{-2\alpha} \, x^n \right\},$$

e quindi  $\Gamma_0$  contiene 5 orbite: il punto d'equilibrio instabile e 4 orbite asintotiche (o nel futuro o nel passato) al punto d'equilibrio. Si noti che tali orbite arrivano al punto d'equilibrio con tangenza orizzontale per n > 1 poiché V''(0) = 0, e con tangenza obliqua per n = 1 poiché  $V''(0) = \alpha < 0$ . Le altre orbite si ottengono utilizzando la continuità della funzione energia e la dipendenza continua dai dati iniziali. Cfr. la Figura 4 per n = 1 e la Figura 5 per  $n \ge 2$ .

Infine per  $\alpha<0$ si ha

$$\Gamma_E = \left\{ (x, y) \in \mathbb{R}^2 : y = \pm \sqrt{2E} \right\},\,$$

purché  $E \geq 0$ . Cfr. la Figura 6.

**4.5.** Traiettorie periodiche. Per  $\alpha \leq 0$  le Figure 4, 5 e 6 mostrano che non si hanno traiettorie periodiche. Al contrario per  $\alpha > 0$  ogni dato iniziale con energia E > 0 genera una traiettoria periodica. Il corrispondente periodo è

$$T(E) = 2 \int_{-x_{-}(E)}^{x_{+}(E)} \frac{\mathrm{d}x}{\sqrt{2\left(E - \frac{\alpha}{2n}x^{2n}\right)}} = 4 \int_{0}^{x_{+}(E)} \frac{\mathrm{d}x}{\sqrt{2\left(E - \frac{\alpha}{2n}x^{2n}\right)}}.$$

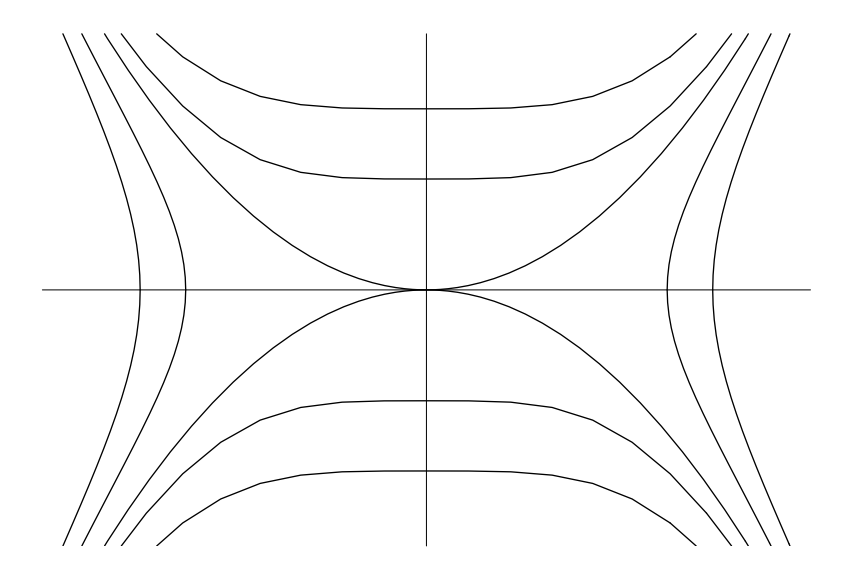
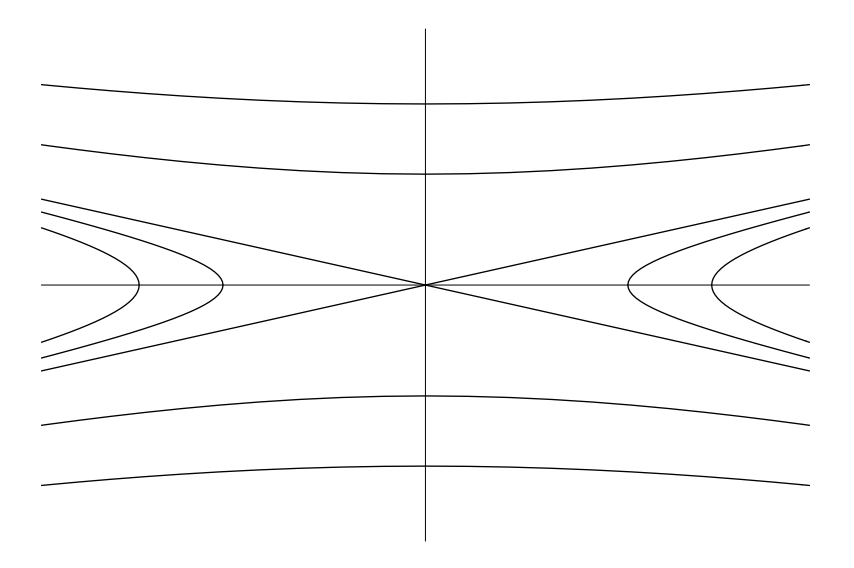


Figura 4. Piano delle fasi per  $\alpha < 0$  e n = 1.



**Figura 5.** Piano delle fasi per  $\alpha < 0$  e  $n \ge 2$ .

## 4.6. Dipendenza del periodo dall'energia. Per $\alpha>0$ ed E>0 si operi il cambio di variabile

$$x = \left(\frac{2nE}{\alpha}\right)^{1/2n} y \implies dx = \left(\frac{2nE}{\alpha}\right)^{1/2n} dy,$$

così che per  $x=x_{\pm}(E)$  si ha  $y=y_{\pm}(E)=\pm 1$ . Quindi il periodo T(E) diventa

$$4\left(\frac{2nE}{\alpha}\right)^{1/2n} \int_0^1 \frac{\mathrm{d}y}{\sqrt{2E\left(1-y^{2n}\right)}} = 2\sqrt{2}\left(\frac{2n}{\alpha}\right)^{1/2n} I(n) E^{1/2n} E^{-1/2} = 2\sqrt{2}\left(\frac{2n}{\alpha}\right)^{1/2n} I(n) E^{-(n-1)/2n},$$

dove si è definito

$$I(n) = \int_0^1 \frac{\mathrm{d}y}{\sqrt{1 - y^{2n}}}.$$

Quindi se si pone

$$c(n, \alpha) = 2\sqrt{2} \left(\frac{2n}{\alpha}\right)^{1/2n} I(n),$$

| · |     |
|---|-----|
|   |     |
|   |     |
| · |     |
|   |     |
|   |     |
|   |     |
|   | I . |

**Figura 6.** Piano delle fasi per  $\alpha = 0$ .

si ottiene

$$T(E) = c(n, \alpha) E^{-(n-1)/2n}$$
.

**4.7. Periodo independente da** E. Dall'espressione di T(E) trovata al punto precedente si vede che T(E) non dipende da E per n=1. In tal caso si ha

$$T(E) = c(1, \alpha) = 2\sqrt{2} \left(\frac{2}{\alpha}\right)^{1/2} I_1 = \frac{4}{\sqrt{\alpha}} \int_0^1 \frac{\mathrm{d}y}{\sqrt{1 - y^2}}.$$

L'integrale si calcola esplicitamente operando il cambio di variabile

$$x = \sin \theta \implies dx = \cos \theta d\theta.$$

Inoltre per  $x \in [0,1]$  la variable  $\theta$  varia nell'intervallo  $\theta \in [0,\pi/2]$ , dove  $\sqrt{1-\sin^2\theta} = \sqrt{\cos^2\theta} = \cos\theta$ , così che

$$T(E) = \frac{4}{\sqrt{\alpha}} \int_0^{\pi/2} \frac{\cos \theta d\theta}{\cos \theta} = \frac{2\pi}{\sqrt{\alpha}}.$$

4.8. Equazione differenziale per la funzione T(E). Poiché risulta  $T(E) = c(n, \alpha)E^{-(n-1)/2n}$  si ha

$$\frac{\mathrm{d}}{\mathrm{d}E}T(E) = -\frac{n-1}{2n}c(n,\alpha)\,E^{-((n-1)/2n)-1} = -\frac{n-1}{2n}c(n,\alpha)\,E^{-(3n-1)/2n},$$

e scrivendo

$$E^{-(3n-1)/2n} = \left(E^{-(n-1)/2n}\right)^{(3n-1)/(n-1)} = \left(c(n,\alpha)\right)^{-(3n-1)/(n-1)} \left(c(n,\alpha)E^{-(n-1)/2n}\right)^{(3n-1)/(n-1)}$$

$$= \left(c(n,\alpha)\right)^{-(3n-1)/(n-1)} \left(T(E)\right)^{(3n-1)/(n-1)},$$

otteniamo

$$\frac{\mathrm{d}}{\mathrm{d}E}T(E) = -\frac{n-1}{2n} \left( c(n,\alpha) \right)^{1-(3n-1)/(n-1)} \left( T(E) \right)^{((3n-1)/(n-1)}.$$

Si ha quindi, ponendo T' = dT/dE,

$$T' = \beta_n T^{(3n-1)/(n-1)}, \qquad \beta_n = \frac{n-1}{2n} \left( c(n,\alpha) \right)^{1-(3n-1)/(n-1)} = \frac{n-1}{2n} \left( c(n,\alpha) \right)^{-2n/(n-1)},$$

che rappresenta l'equazione differenziale cercata.

ESERCIZIO 5. Cfr. Cap. 4, §16, paragrafi 16.7 e 16.21.

ESERCIZIO 6. Cfr. Cap. 10, §42, paragrafo 42.33 ed esercizio 14.